



## Raport

z badań poziomu natężenia pola elektrycznego  
w otoczeniu stacji bazowej:

### WRO1137

na podstawie sprawozdania P4/62/2022 udostępnionego przez A-CONNECT Anna Garwol-Porosa

---

#### Laboratorium prowadzące badania

A-CONNECT Anna Garwol-Porosa  
Strażacka 3/2  
58-370 Boguszów-Gorce  
692 692 875

#### Zleceniodawca badań

P4 Sp. z o.o.  
  
02-677 Warszawa  
790 500 500  
kontakt@play.pl

Nr akredytacji: AB 1284

Data wydania sprawozdania: 08.04.2022

Raport zawiera wybrane elementy sprawozdania i służy wyłącznie obrazowemu przedstawieniu informacji o danej instalacji. Raport nie może być wykorzystywany w postępowaniach administracyjnych.

## Informacje ogólne

Zgodność z metodyką RMK: Tak

Ograniczenia: Na podstawie art. 122a ust. 1b ustawy Prawo ochrony środowiska (t.j. Dz.U. z 2020 r., poz. 1219, 1378, 1565, 2127, 2338, z 2021 r. poz. 802, 868, 1047, 1162, 1535.), pomiary PEM w lokalach mieszkalnych i użytkowych zlokalizowanych w obszarze pomiarowym badanej stacji bazowej nie zostały przeprowadzone.

Wykorzystanie w obszarze regulowanym: Tak

## Przedmiot badań

Identyfikator stacji w UKE	WRO1137
Operator	P4 Sp. z o.o.
Współrzędne	16,9966330; 51,1740830
Rodzaj pracy	ciągła
Rodzaj wytwarzanego pola	stacjonarne

## Miejsce badań

Otoczenie stacji bazowej WRO1137 w lokalizacji Wrocław, ul. Pełczyńska 103.

## Cel badań

1. Zweryfikowanie zgodności z wymaganiami rozporządzenia Ministra Zdrowia z dnia 19 grudnia 2019 r.

# Opis stacji bazowych

Tabela 1: Opis anten badanych stacji bazowych

Lp.	Identyfikator stacji w UKE	Typ Producent anteny	Azymut	H	EIRP	Pasmo	Tilt	Tilt w trakcie pomiarów
			[°]	[m]	[W]	[MHz]	[°]	[°]
1	WRO1137	ATR4518R11v06 Huawei	0	25,50	11650*	LTE 800 LTE 2600 LTE 2600	0,0 - 2,6 0,0 - 2,6 0,0 - 2,6	1,3 1,3 1,3
2		ATR4518R11v06 Huawei	0	25,50	19343*	UMTS 900 LTE 1800 LTE 2100 LTE 1800 LTE 2100	0,0 - 2,6 0,0 - 2,6 0,0 - 2,6 0,0 - 2,6 0,0 - 2,6	1,3 1,3 1,3 1,3 1,3
3		ATR4518R11v06 Huawei	100	25,50	19343*	UMTS 900 LTE 1800 LTE 2100 LTE 1800 LTE 2100	0,0 - 2,3 0,0 - 2,3 0,0 - 2,3 0,0 - 2,3 0,0 - 2,3	1,1 1,1 1,1 1,1 1,1
4		ATR4518R11v06 Huawei	100	25,50	11650*	LTE 800 LTE 2600 LTE 2600	0,0 - 2,3 0,0 - 2,3 0,0 - 2,3	1,1 1,1 1,1
5		ATR4518R11v06 Huawei	230	25,50	19343*	UMTS 900 LTE 1800 LTE 2100 LTE 1800 LTE 2100	0,0 - 2,9 0,0 - 2,9 0,0 - 2,9 0,0 - 2,9 0,0 - 2,9	1,5 1,5 1,5 1,5 1,5
6		ATR4518R11v06 Huawei	230	25,50	11650*	LTE 800 LTE 2600 LTE 2600	0,0 - 2,9 0,0 - 2,9 0,0 - 2,9	1,5 1,5 1,5

\* moc EIRP łączna dla wszystkich częstotliwości anteny

## Warunki pomiarów

Pomiary w wyznaczonych punktach wykonano w następujących warunkach:

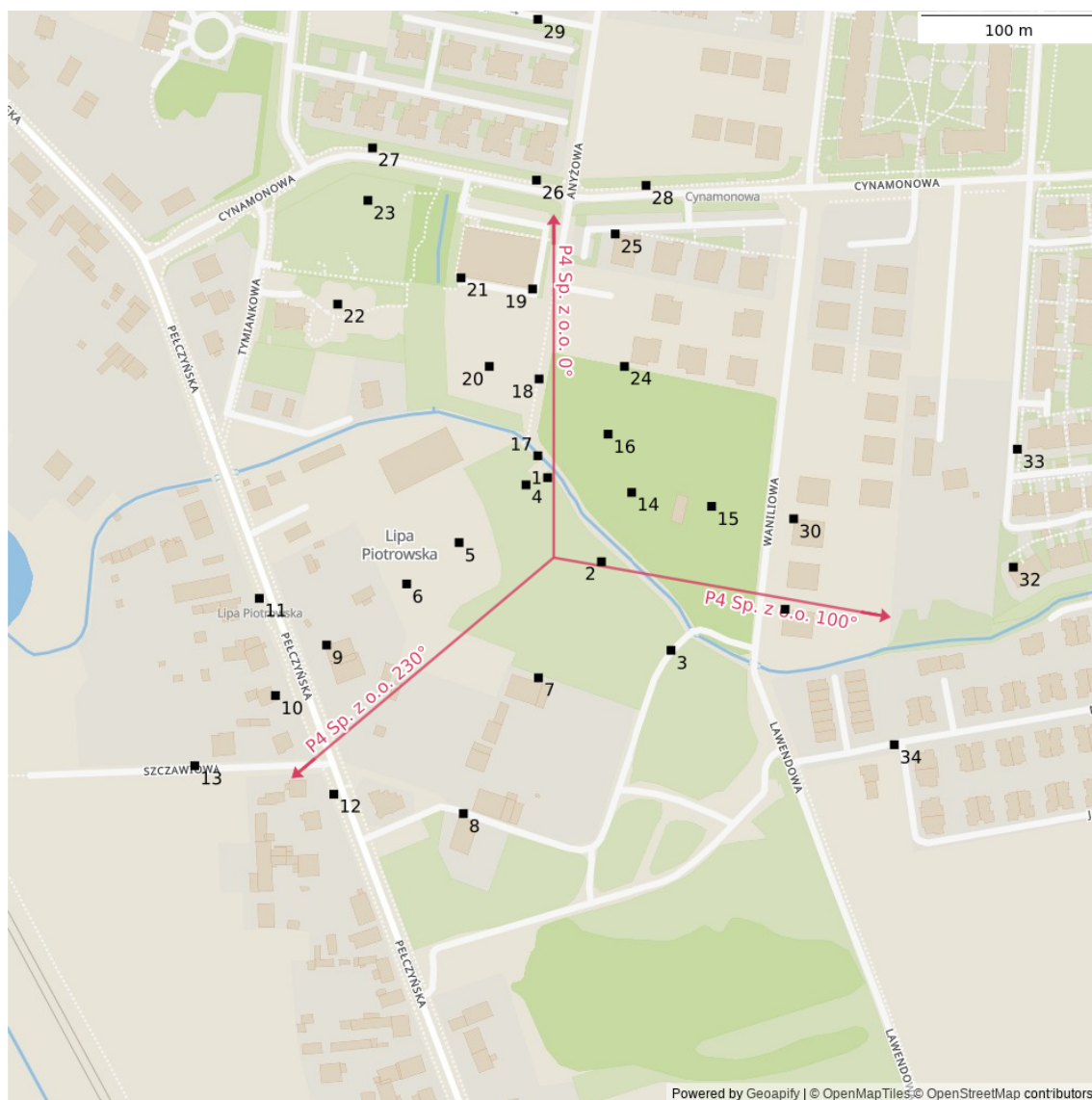
07.04.2022 13:00-14:30			
Warunki środowiskowe	Temperatura [°C]	Wilgotność [%]	Opady
Minimalna	16,1	50,1	brak
Maksymalna	16,3	50,5	

## Aparatura

Tabela 2: Aparatura

MIERNIKI I SONDY					
Lp.	Typ / Nazwa	Model	Producent	Próg detekcji	Świadectwo wzorcowania
1a	miernik	NBM-520	Narda		LWiMP/W/069/22 z dn. 08.03.2022 wydane przez LWiMP Politechniki Wrocławskiej
1b	sonda	EF6091	Narda	0,50	
POZOSTAŁE					
Lp.	Typ / Nazwa	Model	Producent	Świadectwo wzorcowania	
2	termohigrometr	P330	DOSTMANN	47102/2016 z dn. 28.11.2016 wydane przez LAB-EL ELEKTRONIKA LABORATORYJNA ANDRZEJ ŁOBZOWSKI, MARIA ŁOBZOWSKA SP. J.	

## Lokalizacje pionów pomiarowych



Rysunek 1: Plan terenu

## Wyniki pomiarów szerokopasmowych

Tabela 3: Zestawienie lokalizacji pionów pomiarowych oraz wyników pomiarów natężenia pola elektrycznego, pomiary szerokopasmowe

Nazwa	Data	Współrzędne geograficzne	E	WM <sub>E</sub>	H	WM <sub>H</sub>
		[°]	[ $\frac{V}{m}$ ]		[ $\frac{A}{m}$ ]	
1	07.04.2022	16,9965830 51,1744930	3,58	0,128	0,009	0,130
2	07.04.2022	16,9970230 51,1740620	3,78	0,135	0,010	0,137
3	07.04.2022	16,9975920 51,1736080	3,97	0,142	0,011	0,144

Ciąg dalszy na następnej stronie

Tabela 3: Zestawienie lokalizacji pionów pomiarowych oraz wyników pomiarów natężenia pola elektrycznego, pomiary szerokopasmowe (c.d.)

Nazwa	Data	Współrzędne geograficzne	E	WM <sub>E</sub>	H	WM <sub>H</sub>
		[°]	[ $\frac{V}{m}$ ]		[ $\frac{A}{m}$ ]	
4	07.04.2022	16,9964060 51,1744560	4,17	0,149	0,011	0,152
5	07.04.2022	16,9958590 51,1741600	3,97	0,142	0,011	0,144
6	07.04.2022	16,9954300 51,1739480	3,97	0,142	0,011	0,144
7	07.04.2022	16,9965080 51,1734670	3,18	0,114	0,008	0,116
8	07.04.2022	16,9958940 51,1727710	1,99	0,071	0,005	0,072
9	07.04.2022	16,9947750 51,1736350	1,79	0,064	0,005	0,065
10	07.04.2022	16,9943570 51,1733760	1,99	0,071	0,005	0,072
11	07.04.2022	16,9942250 51,1738740	2,38	0,085	0,006	0,086
12	07.04.2022	16,9948340 51,1728700	2,19	0,078	0,006	0,080
13	07.04.2022	16,9936970 51,1730160	1,99	0,071	0,005	0,072
14	07.04.2022	16,9972700 51,1744170	3,38	0,121	0,009	0,123
15	07.04.2022	16,9979240 51,1743460	3,58	0,128	0,009	0,130
16	07.04.2022	16,9970770 51,1747160	3,18	0,114	0,008	0,116
17	07.04.2022	16,9965030 51,1746050	3,78	0,135	0,010	0,137
18	07.04.2022	16,9965130 51,1749990	3,97	0,142	0,011	0,144
19	07.04.2022	16,9964600 51,1754600	5,56	0,199	0,015	0,202
20	07.04.2022	16,9961060 51,1750630	4,37	0,156	0,012	0,159
21	07.04.2022	16,9958750 51,1755170	7,15	0,255	0,019	0,260
22	07.04.2022	16,9948660 51,1753820	2,98	0,106	0,008	0,108
23	07.04.2022	16,9951130 51,1759140	5,56	0,199	0,015	0,202
24	07.04.2022	16,9972110 51,1750630	4,57	0,163	0,012	0,166

Ciąg dalszy na następnej stronie

Tabela 3: Zestawienie lokalizacji pionów pomiarowych oraz wyników pomiarów natężenia pola elektrycznego, pomiary szerokopasmowe (c.d.)

Nazwa	Data	Współrzędne geograficzne	E	WM <sub>E</sub>	H	WM <sub>H</sub>
		[°]	[ $\frac{V}{m}$ ]		[ $\frac{A}{m}$ ]	
25	07.04.2022	16,9971360 51,1757420	4,97	0,178	0,013	0,181
26	07.04.2022	16,9964920 51,1760180	5,37	0,192	0,014	0,195
27	07.04.2022	16,9951510 51,1761830	4,77	0,170	0,013	0,173
28	07.04.2022	16,9973880 51,1759910	3,18	0,114	0,008	0,116
29	07.04.2022	16,9965030 51,1768420	1,99	0,071	0,005	0,072
30	07.04.2022	16,9985950 51,1742820	3,97	0,142	0,011	0,144
31	07.04.2022	16,9985250 51,1738180	3,78	0,135	0,010	0,137
32	07.04.2022	17,0003920 51,1740340	4,37	0,156	0,012	0,159
33	07.04.2022	17,0004240 51,1746390	4,17	0,149	0,011	0,152
34	07.04.2022	16,9994180 51,1731240	1,99	0,071	0,005	0,072

## Podsumowanie

Na podstawie wyników pomiarów pola elektromagnetycznego przedstawionych w niniejszym raporcie o nr P4/62/2022 opracowanym przez A-CONNECT Anna Garwol-Porosa stwierdza się, że w otoczeniu stacji bazowej WRO1137 dopuszczalne poziomy pól elektromagnetycznych w środowisku, określone w przepisach wydanych na podstawie art. 122 ust. 1 ustawy z dnia 27 kwietnia 2001 r. – Prawo ochrony środowiska uznaje się za **dotrzymane**. Udokumentowano, że w żadnym pionie pomiarowym wartości wskaźnikowe WM<sub>E</sub> oraz WM<sub>H</sub> nie przekroczyły 1.

## Osoby odpowiedzialne

Wykonanie pomiarów: b.d.

Opracowanie sprawozdania: b.d.

Autoryzacja sprawozdania: Łukasz Porosa (Kierownik ds.jakości)